

Bentu Energy S.r.l.

Parco Eolico Bentu sito nel Comune di Thiesi

Interferenze con le Telecomunicazioni

Agosto 2022



**REGIONE AUTÒNOMA DE SARDIGNA
REGIONE AUTONOMA DELLA SARDEGNA**



Comune di Thiesi

Committente:

Bentu Energy S.r.l

Bentu Energy S.r.l.

Via Sardegna, 40

00187 Roma

P.IVA/C.F. 15802451003

Titolo del Progetto:

Parco Eolico Bentu sito nel Comune di Thiesi

Documento:

Interferenze con le telecomunicazioni

N° Documento:

IT-VesBen-CLP-SPE-TR-10

Progettista:

Dott.ssa Ing. Alessandra Scalas

Dott.ssa Ing. Silvia Exana


Dott. Giulio Casu

Dott. Giovanni Lovigu

Rev	Data Revisione	Descrizione	Redatto	Controllato	Approvato
0	05/08/2022	Prima emissione			

Sommario

1. Premessa	4
2. Descrizione del progetto.....	4
3. Effetti elettromagnetici sulle comunicazioni.....	5
4. Analisi degli impatti.....	6
4.1 Impatti sui radar	6
4.2 Impatti sui sistemi a microonde-ponti radio	10
4.3. Impatti sulle telecomunicazioni TV.....	19
4.4. Impatti sui segnali radio	20
4.5. Impatti sulle comunicazioni telefoniche.....	21
5. Conclusioni.....	23

Bentu Energy S.r.l.		N° Doc. IT-VesBen-CLP-SPE-TR-10	Rev 0	Pagina 4 di 23
---------------------	--	------------------------------------	-------	-------------------

1. Premessa

Come prescritto nell'allegato alla Delib.G.R. n. 3/17 del 16.1.2009 la presente relazione ha lo scopo di una verifica preliminare per quanto riguarda le eventuali interferenze con le telecomunicazioni generate dalla realizzazione del parco eolico denominato "Bentu" nel Comune di Thiesi (SS).

2. Descrizione del progetto

Il progetto prevede la realizzazione di un impianto eolico per la produzione di energia elettrica, di potenza nominale pari a 48 MW, da localizzarsi nel Comune di Thiesi (SS). L'impianto è costituito come segue:

- **8 aerogeneratori (AG) della potenza unitaria di 6 MW, per una potenza complessiva di 48 MW.** Gli aerogeneratori saranno montati su torri tubolari di acciaio che porteranno il mozzo del rotore a un'altezza da terra di 125 m dal piano campagna, e l'altezza massima dal suolo di ogni macchina (compresa la massima estensione da terra della terna di pale) sarà pertanto pari a 206 m.
- **Opere accessorie: cabine elettriche e cavidotti interrati.** Gli aerogeneratori saranno collegati tra loro attraverso cavidotto interrato in MT a 30 kV che collegherà il parco eolico alla stazione di trasformazione utente 30/150 kV che sarà condivisa con altre società proponenti. Questa sarà collegata con un cavo interrato a 150 kV con il futuro ampliamento a 150 kV in GIS della stazione elettrica (SE) RTN 380 kV "Ittiri" localizzata nel Comune di Ittiri (SS) che rappresenta il punto di connessione dell'impianto alla RTN.

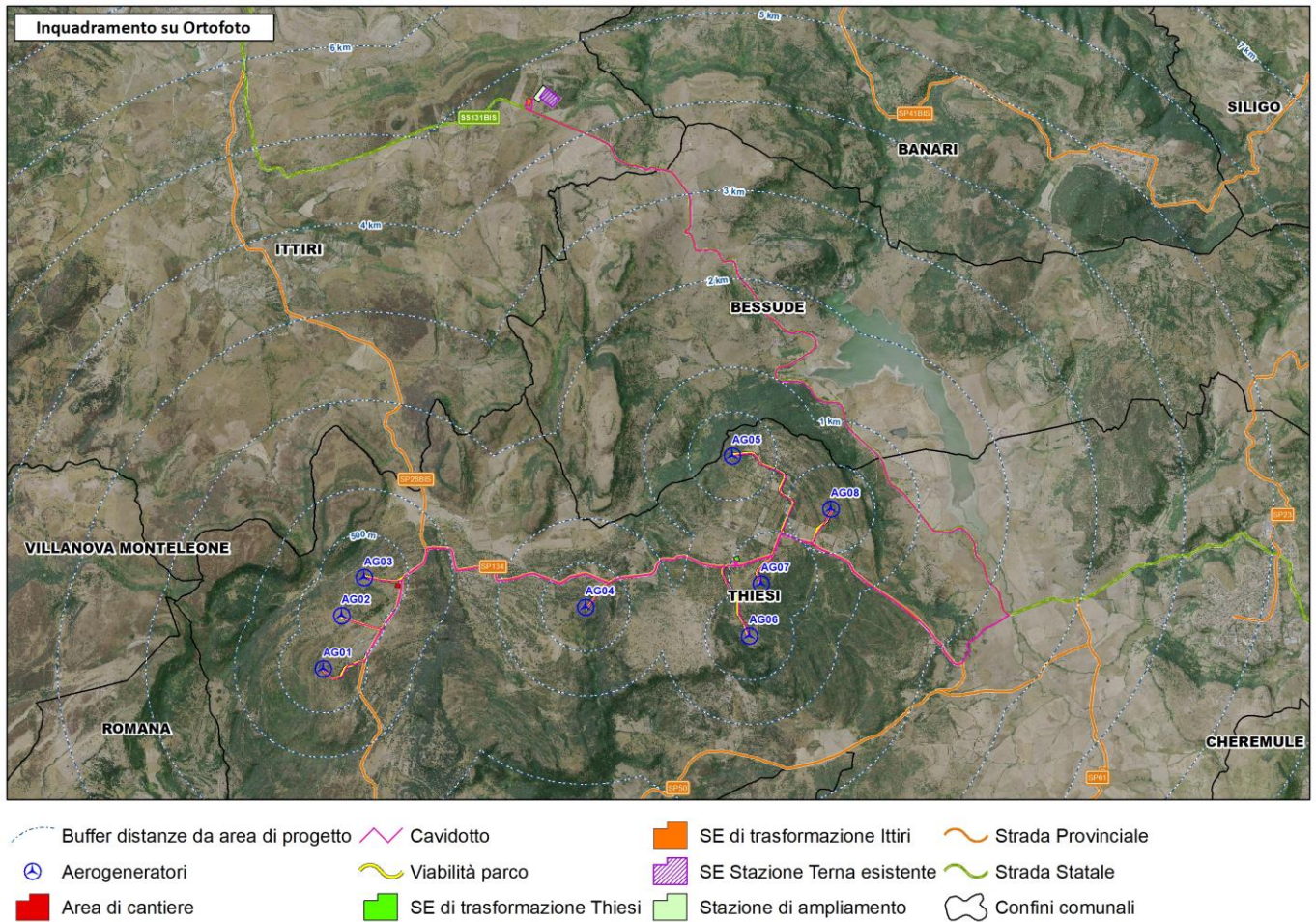


Figura 1: inquadramento su Ortofoto del Parco eolico.

3. Effetti elettromagnetici sulle comunicazioni


Gli impianti eolici possono potenzialmente generare degli impatti sui segnali elettromagnetici, attraverso le interferenze elettromagnetiche generate dalle turbine e dalle linee elettriche o creando un ostacolo e, quindi, delle distorsioni ai segnali.

Il grado e la natura dell'interferenza possono dipendere:

- dalle caratteristiche delle pale;
- dalle caratteristiche del ricevitore del segnale;
- dalla frequenza del segnale;
- dal tipo di propagazione delle onde radio nell'atmosfera.

Le interferenze possono essere prodotte dai tre principali componenti la turbina eolica:

1. la torre;
2. le pale in rotazione;
3. Il generatore elettrico.

Bentu Energy S.r.l.		N° Doc. IT-VesBen-CLP-SPE-TR-10	Rev 0	Pagina 6 di 23
---------------------	--	------------------------------------	-------	-------------------

I primi due componenti (ed in particolar modo la torre) possono costituire un ostacolo, rifrangere o riflettere le onde elettromagnetiche. Le pale presentano meno questo problema perché sono realizzate in materiali sintetici non metallici. Allo stesso modo il generatore, con i moderni sistemi di isolamento, non costituisce un problema per le radio e telecomunicazioni.

Gli eventuali impatti si possono verificare su diversi sistemi:

- **sistemi per le radio e telecomunicazioni;**
- **sistemi per le comunicazioni telefoniche;**
- **sistemi radar;**
- **sistemi a microonde (Ponti Radio).**

I risultati delle ricerche su questo tema sono in genere confortanti e mostrano che, a parte ancora alcune preoccupazioni per gli impatti sui sistemi radar, è possibile evitare del tutto le interferenze con opportuni accorgimenti soprattutto considerando il progressivo ricorso a materiali non metallici nella costruzione delle turbine.

Le turbine eoliche possono influenzare le caratteristiche di propagazione delle telecomunicazioni (come qualsiasi ostacolo), la qualità del collegamento in termini di segnale-disturbo e la forma del segnale ricevuto con eventuale alterazione dell'informazione.

Per misurare gli effetti di questo fenomeno si può far ricorso sia a prove sperimentali che a previsioni teoriche. Il primo metodo consiste nel controllare, tramite rilevamenti effettuati a varie distanze dagli aerogeneratori, la qualità dell'immagine ricevuta, correlandola al livello del segnale riflesso o diffuso dalla struttura del generatore stesso.

Esistono, inoltre, modelli matematici predittivi per calcolare i livelli del segnale riflesso e diffuso dalle strutture in movimento. Questi permettono di individuare, in maniera conservativa, una zona di rispetto oltre la quale il rapporto tra segnale e disturbo è di entità tale da non incidere sulla qualità del radioservizio stesso.


Sulla base di quanto riportato in letteratura e con riferimento a risultati di prove di caratterizzazione di macchine di media taglia, si ritiene che il rischio di tali disturbi possa considerarsi irrilevante per gli aerogeneratori dell'attuale generazione che utilizzano pale in materiale non metallico ed antiriflettente.

4. Analisi degli impatti

4.1. Impatti sui radar

Questo tipo di impatto si rileva nelle vicinanze di aeroporti civili e militari, basi militari o stazioni radar o lungo rotte aeree o navali. Si possono avere due tipi di interferenza:

- interferenza diretta;
- doppler.

Bentu Energy S.r.l.		N° Doc. IT-VesBen-CLP-SPE-TR-10	Rev 0	Pagina 7 di 23
---------------------	--	------------------------------------	-------	-------------------

Nel primo caso il segnale radar viene riflesso dai componenti della turbina; nel secondo, la rotazione delle pale causa delle distorsioni sulle frequenze del segnale radar, facendole aumentare in una direzione e diminuire nell'altra, creando così un effetto doppler con conseguenze sui radar. Questo effetto è amplificato dalla possibilità della navicella di ruotare sull'asse verticale per ottimizzare la sua esposizione al vento. Queste interferenze riducono la sensibilità dei sistemi radar creando false immagini (ghosting), zone morte e zone d'ombra in prossimità degli impianti eolici.

Il parco eolico in proposta non si trova in corrispondenza di alcuna rotta aerea, come risulta dalla carta di crociera degli spazi aerei (Fonte ENAC) illustrata in Figura 2, e le turbine non interferiscono con lo spazio aereo dedicato agli aeromobili.

Il parco eolico non ricade all'interno della CTR¹ di Alghero, come mostrato dalla cartografia di Figura 3 e Figura 4. Il parco rientra, invece, all'interno della zona di controllo Sardegna CTA-zona 4, ma è importante precisare che essa rappresenta solo la proiezione sul piano orizzontale degli spazi aerei dedicati agli aeromobili. La CTA-zona 4 ha inizio a 5500 ft² al di sopra del livello del mare (AMSL) e finisce alla quota di FL 85 (altezza variabile intorno agli 8500 ft) quindi ben oltre l'altezza delle turbine (la cui altezza massima sul livello del mare non arriva a 750 m). Alcune turbine sono al confine della CTA-zona 2, che ha inizio a 2500 ft sul livello del mare (quindi a circa 762 m), ma come precedentemente esposto, le turbine sono al di sotto di questa altitudine.

Pertanto tali condizioni non pregiudicano la realizzazione del parco eolico.

¹ Control Zone: aree messe a protezione degli aeroporti di interesse maggiore o soggette ad intenso traffico.

² 1676 metri.



Figura 2: Carta di crociera - spazio aereo superiore (ENAC, luglio 2022).

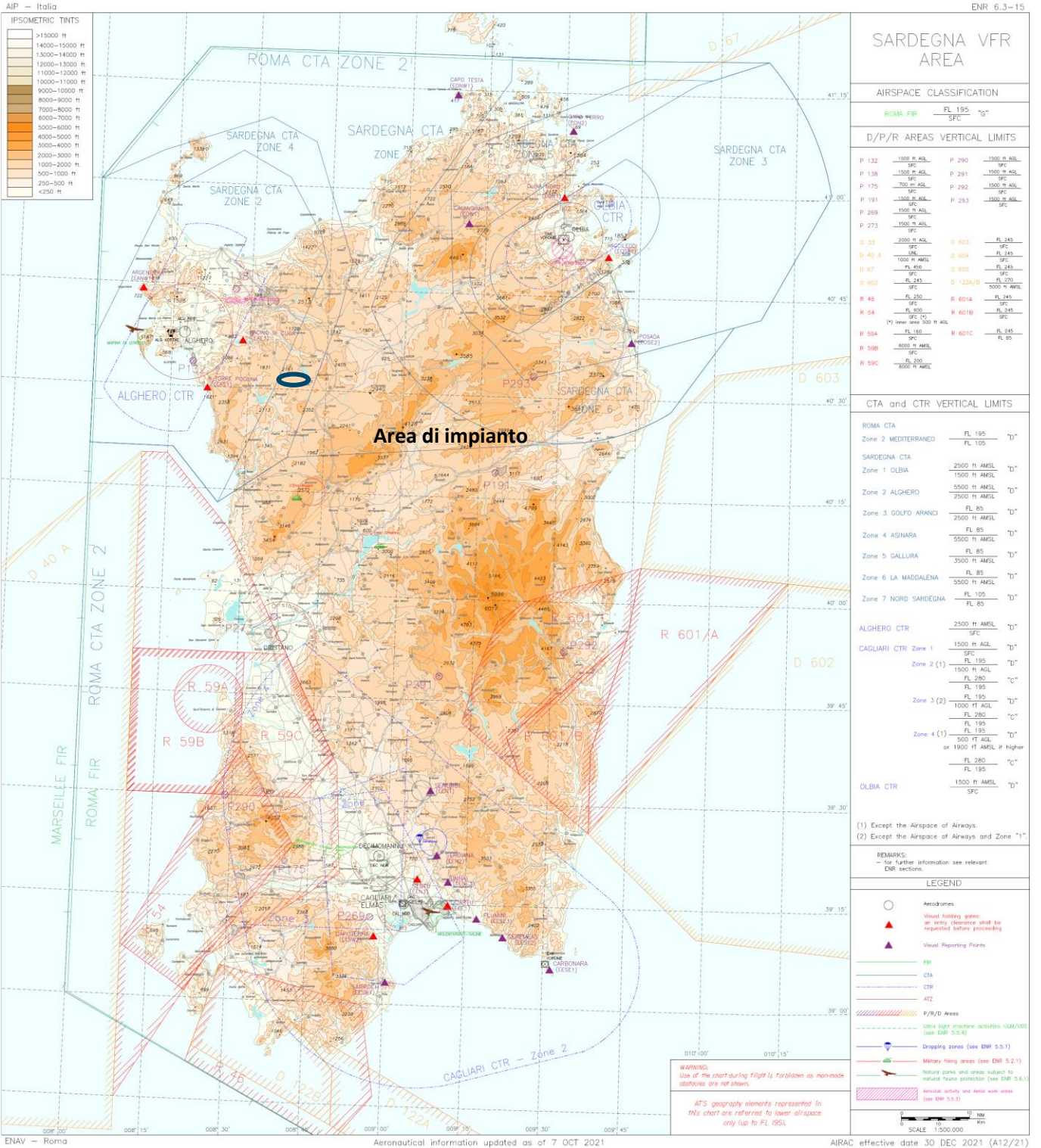


Figura 3: classificazione dello spazio aereo della Sardegna (ENAC, luglio 2022).

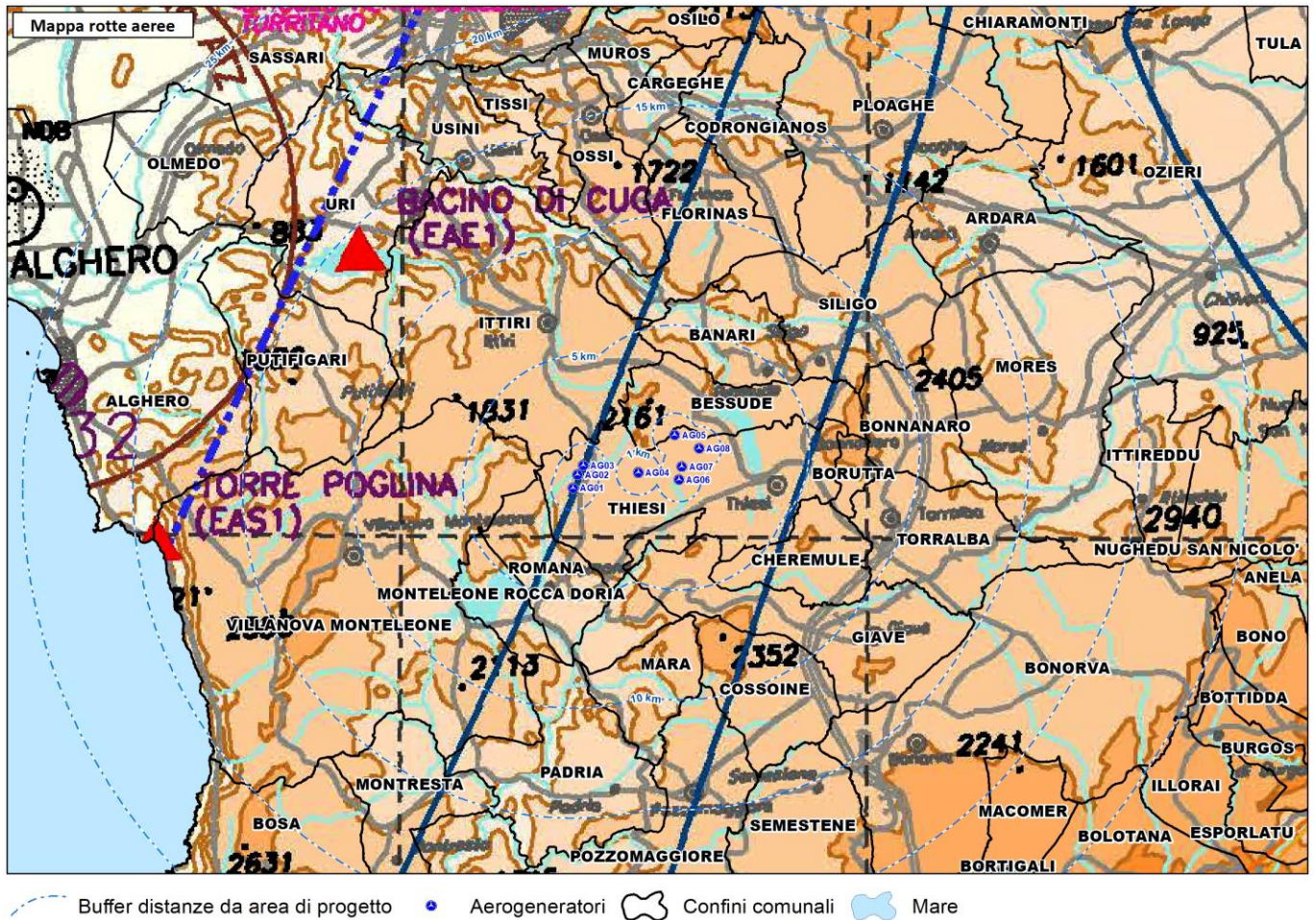


Figura 4: classificazione dello spazio aereo della Sardegna. Dettaglio della carta ENAC, luglio 2022.

4.2. Impatti sui sistemi a microonde-ponti radio

Un ponte radio è un collegamento radioelettrico tra due punti fissi effettuato per mezzo di onde elettromagnetiche dirette. Poiché il collegamento viene effettuato tra due punti in visibilità elettromagnetica, i ponti radio sono generalmente realizzati con antenne direttive (o direzionali), che consentono di concentrare l'energia trasmessa in fasci di piccola apertura secondo una prefissata direzione. Per ottenere questi fasci direttivi è necessario usare onde elettromagnetiche a frequenze molto elevate (microonde), le cui frequenze tipiche sono riportate in Tabella 1.

Nello spazio libero la potenza ricevuta dal ponte ricevente decresce con il quadrato della distanza e varia in funzione della frequenza e delle proprietà direttive dell'antenna. L'attenuazione dovuta a questi fattori si somma all'attenuazione dovuta al fatto che il mezzo trasmissivo è diverso dal vuoto

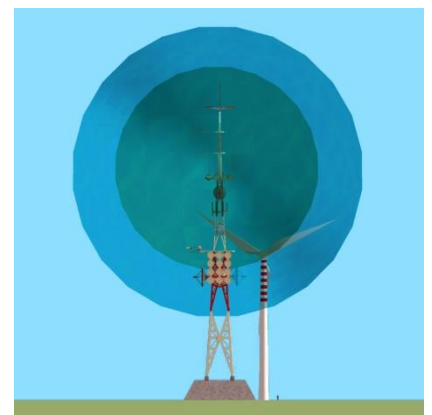


Figura 5 - Interferenza di un AG con le zone di Fresnel

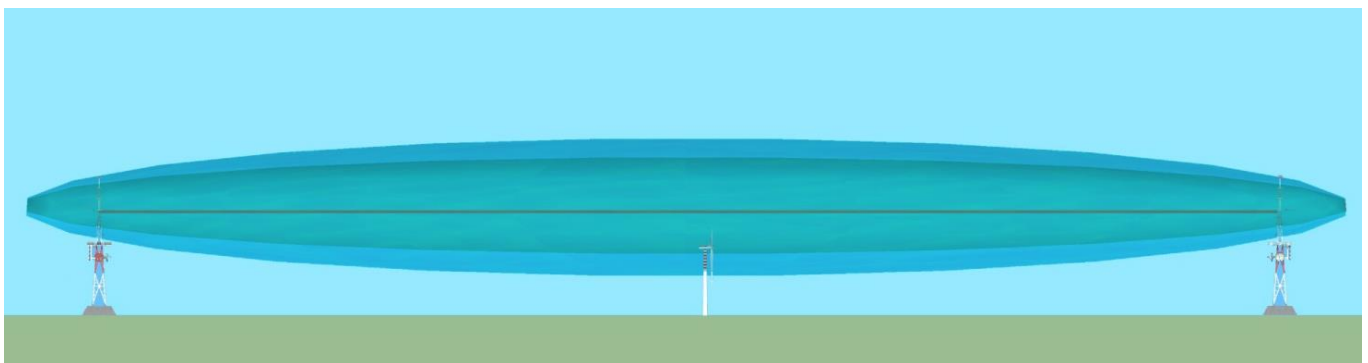
ed alla presenza di ostacoli di vario genere. Pertanto la propagazione delle onde elettromagnetiche, non avvenendo in uno spazio libero ideale, è influenzata da diversi fenomeni: riflessione (contro ostacoli di dimensioni maggiori della sua lunghezza d'onda), rifrazione (nel passaggio da un mezzo trasmissivo ad un altro, ad esempio aria-cemento) e diffrazione.

Al fine di ridurre al minimo i fenomeni di attenuazione, si deve fare in modo che sulle tratte dei ponti radio sia garantita una visibilità priva di ostacoli tra il Trasmettitore ed il Ricevitore, all'interno del cosiddetto ellissoide di Fresnel. È necessario, dunque, studiare il posizionamento del parco eolico rispetto a tale ellissoide che definisce il volume di radiazione dell'onda elettromagnetica trasmessa.

Tabella 1 - frequenze tipiche della trasmissione a microonde

Gamma di frequenze [GHz]	Campo di frequenze [GHz]
2	1 700 ÷ 2 300
4	3 600 ÷ 4 200
6 (Bassa)	5 925 ÷ 6 425
6 (Alta)	6 430 ÷ 7 110
7	7 125 ÷ 7 725
8	7 725 ÷ 8 500
11	10 700 ÷ 11 700
13	12 700 ÷ 13 250
18	17 700 ÷ 19 700

Sovrapponendo le Zone di Fresnel relative ad ogni percorso del segnale a microonde al layout dell'impianto eolico, è quindi possibile definire la qualità di un collegamento ed il disturbo eventualmente causato dalla presenza delle turbine. Due antenne si dicono in completa visibilità se il primo ellissoide di Fresnel risulta libero da ostacoli. È auspicabile che l'impianto eolico ricada almeno al di fuori della seconda zona di Fresnel, in quanto potrebbero manifestarsi delle interferenze in seguito a schermatura o diffrazione, e questa condizione vale per tutte le gamme di frequenza.



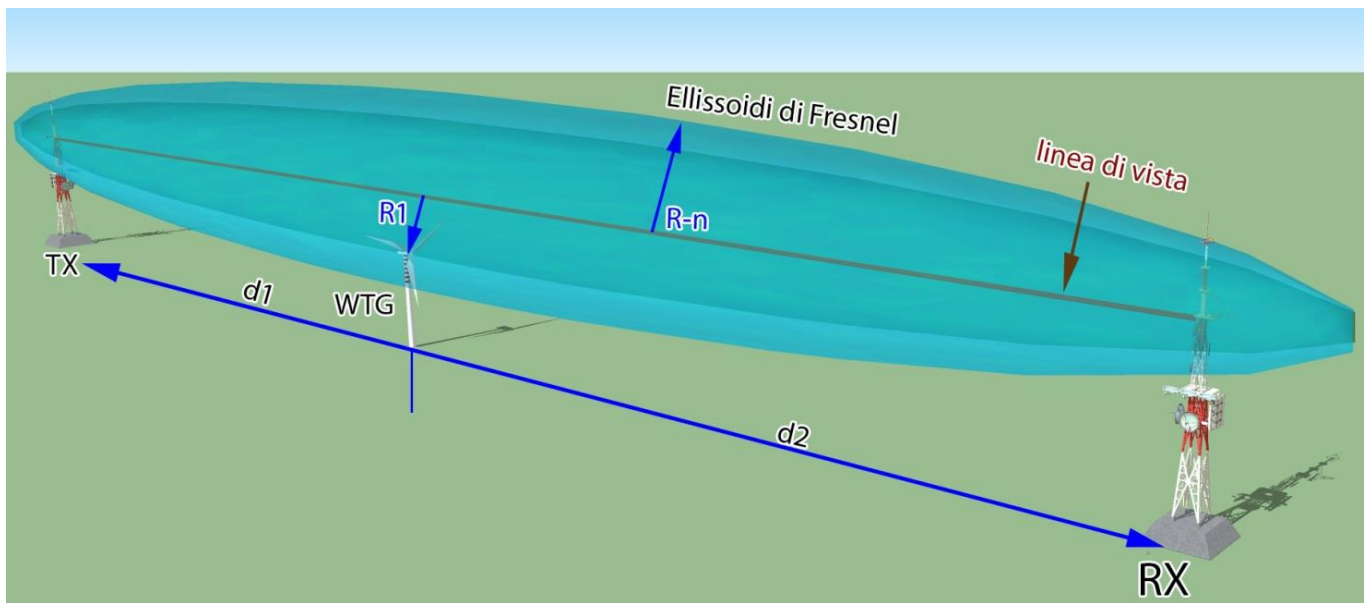


Figura 6 - Rappresentazione schematica interferenza AG con le zone di Fresnel tra due ponti radio.

Nell'area vasta sono presenti diverse stazioni di trasmissione. Come prima ipotesi si è considerata la **situazione più cautelativa, supponendo che tutti i ponti radio presenti nel raggio di 200 km siano mutuamente visibili**. Si consideri, però, che in condizioni reali di propagazione, a causa della curvatura terrestre, ci sarà sempre una distanza alla quale la sorgente di emissione non sarà più visibile dall'antenna ricevente. Ad esempio, in un terreno pianeggiante, se le antenne trasmettenti e riceventi sono poste a 30 km di distanza, dovranno essere a 15 metri dal suolo per ottenere visibilità ottica.

Si è posto, per semplicità, che ogni antenna sia alta 15 m e si è considerata la curvatura terrestre. Considerando, inoltre, le tratte dei ponti radio di rilevanza regionale, si è ottenuta la situazione rappresentata in Figura 7.

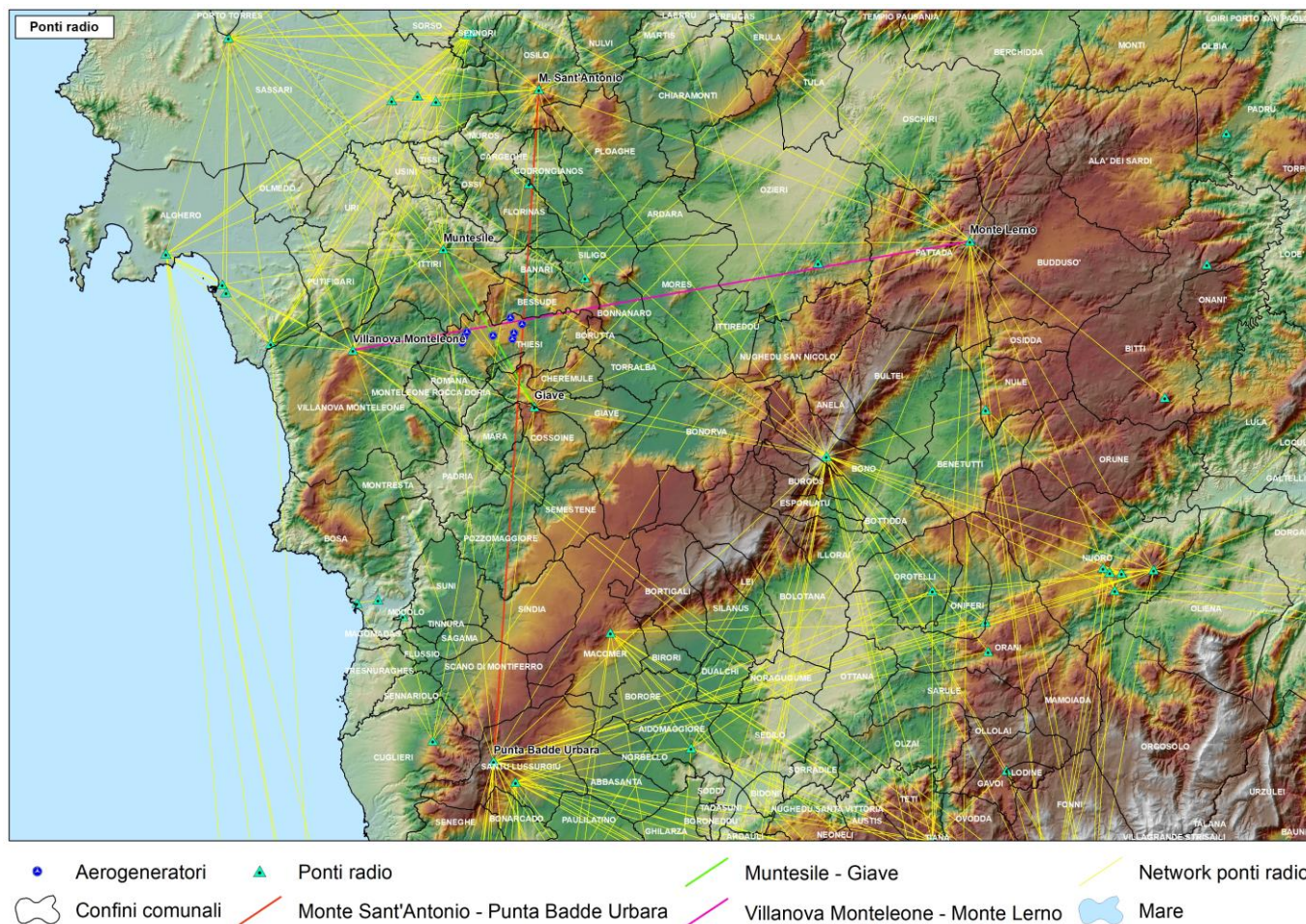


Figura 7 - tratte ponti radio nell'area vasta.

Da una prima analisi, i ponti radio che possono essere influenzati dalla realizzazione del parco sono quelli di M. Sant'Antonio – Punta Badde Urbara (indicato in rosso nella Figura 7), di Villanova Monte Leone – Monte Lerno (indicato in viola nella Figura 7) e di Muntesele – Giave (indicato in verde nella Figura 7).

Tabella 2: ponti radio di interesse

Nome_Ponte	Città	altitudine	latitudine	longitudine	copertura
Punta Badde Urbara	Santu Lussurgiu	960	40.158306	8.630778	tutta la provincia di Oristano, Campidano, zona meridionale della provincia di Sassari e occidentale della provincia di Nuoro
Monte Lerno	Pattada	1094	40.606972	9.167222	Buddusò, Osidda, Pattada
Giave	Giave	706	40.463889	8.675167	X
Muntesele	Ittiri	450	40.599333	8.571444	Ittiri e dintorni

Villanova Monteleone	Villanova Monteleone	580	40.511833	8.469889	Bosa, Villanova e dintorni, Alghero e parte di Sassari
M. Sant'Antonio	Osilo	694	40.737306	8.678722	Osilo e dintorni

Poiché Muntesele ha una copertura strettamente locale possiamo escludere un collegamento con la stazione di Giave. Si procede, dunque, all'analisi di dettaglio degli altri due ponti, calcolando i rispettivi ellissoidi di Fresnel.

Monte Sant'Antonio (copertura: Osilo e dintorni) – Punta Badde Urbara (copertura: provincia di Oristano, Campidano, ecc.)

Una volta tracciata la linea di vista, cioè il segmento che congiunge il dispositivo trasmettitore con il ricevitore, la n-esima zona di Fresnel si calcola con la seguente formula:

$$R_n = \sqrt{\frac{n\lambda d_1 d_2}{d_1 + d_2}}$$

dove:

R_n = il raggio dell'n-esima zona di Fresnel, in metri;

n = indice delle zone di Fresnel (n = 1,2,3...);

d_1 = la distanza sulla linea di vista della turbina AG08 dal trasmettitore;

d_2 = la distanza sulla linea di vista della turbina AG08 dal ricevitore;

λ = la lunghezza d'onda, in metri.

Nel caso in esame si è posto:

- n = 4 (caso peggiore);

- la distanza tra i ponti è 64,4 Km: $d_1 = 22,53$ Km; $d_2 = 41,87$ Km.

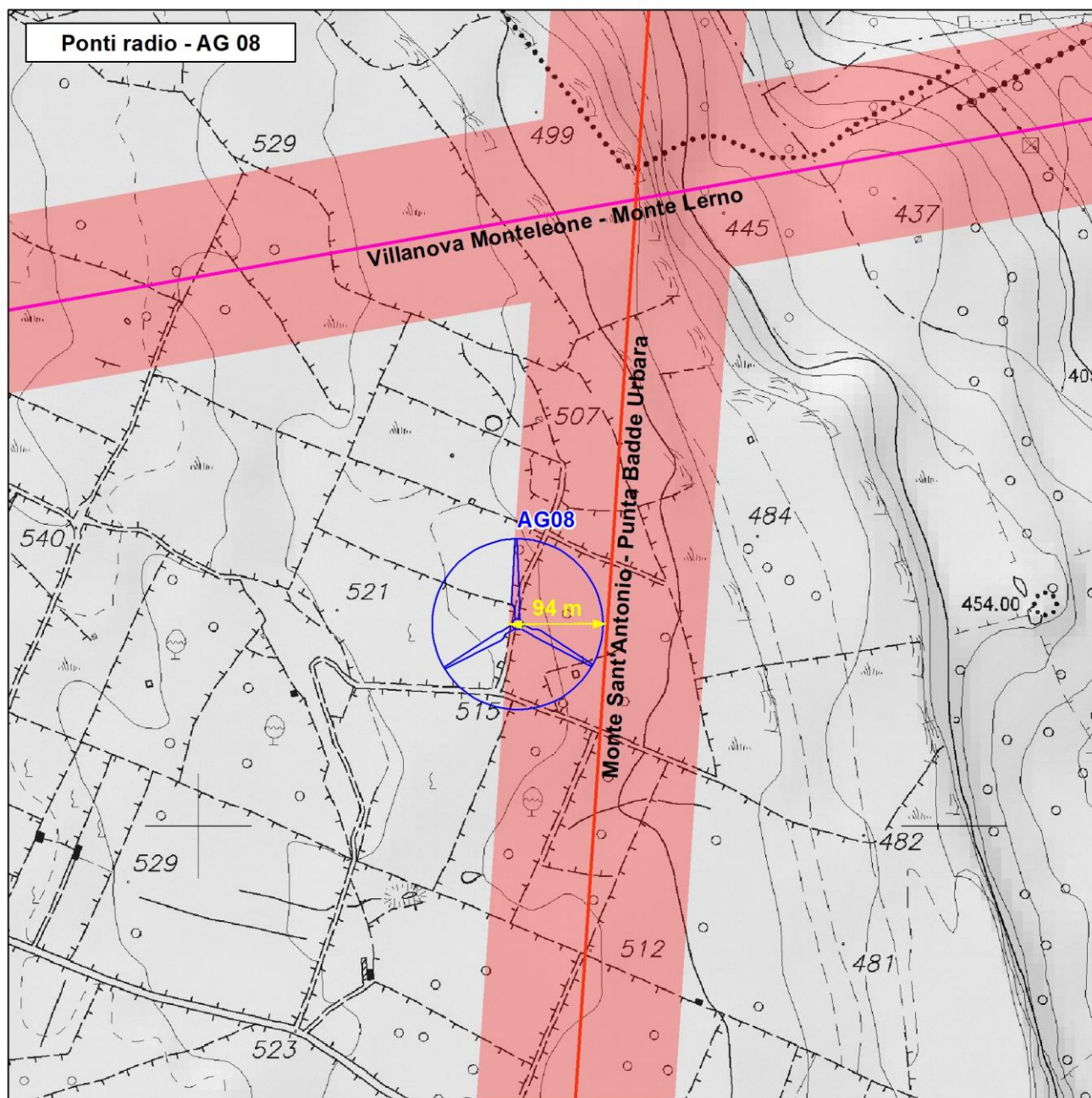
Inoltre, ponendoci nelle condizioni più cautelative, calcoliamo i raggi considerando la Frequenza di trasmissione minima pari a 2 Ghz ($\lambda = 15$ cm) otteniamo la seguente tabella:

Tabella 3: calcolo raggio Ellissoide di Fresnel del ponte Monte Sant'Antonio – Punta Badde Urbara della turbina AG08.

Frequenza [Ghz]	Zona di Fresnel	λ [cm]	Raggio zona Fresnel [m]	
2	1	15	R1	47
	2	15	R2	66
	3	15	R3	81
	4	15	R4	94

Si è ottenuto, dunque, che il raggio dell'ellissoide al centro sia pari a **R = 94 m**.

Come possiamo vedere in Figura 8, la turbina AG08 interseca, almeno sul piano orizzontale, l'ellissoide di Fresnel di questo ponte radio. Si esamina quindi la turbina sul piano verticale per verificare la presenza della possibile intersezione. Calcolando la quota delle due stazioni radio, risulta che la quota del centro dell'ellissoide di Fresnel di questo ponte radio in corrispondenza della turbina è di circa 802 m sul livello del mare. Poiché la turbina è ad una quota di 511 m sul livello del mare e il raggio massimo dell'ellissoide è di 94 m, rileviamo che l'intersezione tra l'ellissoide e le pale è trascurabile (Figura 9).






-  Aerogeneratori
-  Ellissoide Fresnel
-  Monte Sant'Antonio - Punta Badde Urbara
-  Villanova Monteleone - Monte Lerno

Figura 8: ellissoide di Fresnel del ponte radio Monte Sant'Antonio – Punta Badde Urbara sul piano orizzontale.

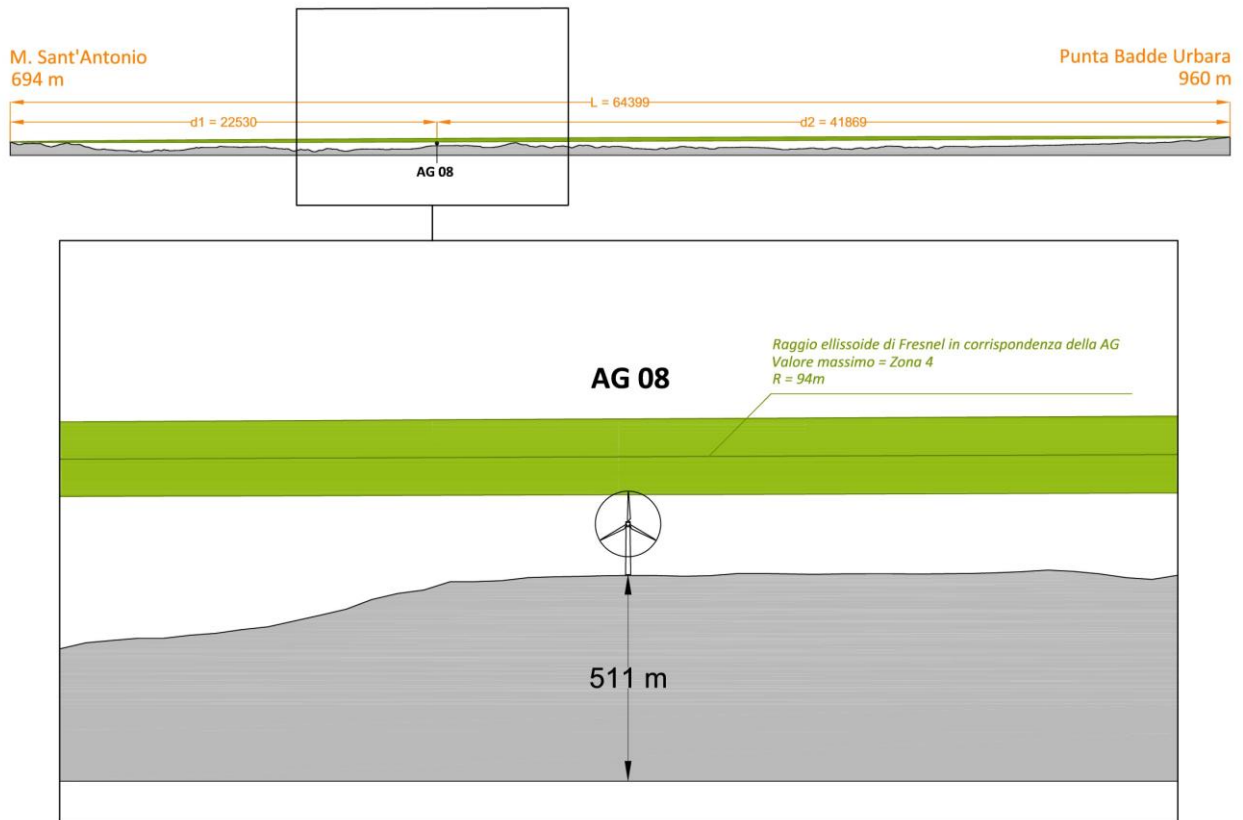


Figura 9: ellissoide di Fresnel del ponte radio Monte Sant'Antonio - Punta Badde Urbara sul piano verticale.

Villanova Monteleone (copertura: Bosa, Villanova e dintorni) – Monte Lerno (copertura: Buddusò, Pattada)

Relativamente al ponte radio Villanova Monteleone – Monte Lerno, l'analisi sul piano orizzontale mostra l'assenza di possibili interferenze con le turbine del parco e l'ellissoide di Fresnel della suddetta tratta (Figura 10).

In particolare, in riferimento alla turbina AG03, i calcoli restituiscono:

Tabella 4: calcolo raggio Ellissoide di Fresnel del ponte Villanova Monteleone – Monte Lerno in corrispondenza della turbina AG03.

Frequenza [Ghz]	Zona di Fresnel	λ [cm]	Raggio zona Fresnel [m]	
2	1	15	R1	37
	2	15	R2	52
	3	15	R3	64
	4	15	R4	74

Dove:

d_1 = la distanza sulla linea di vista della turbina AG03 dal trasmettitore;

d_2 = la distanza sulla linea di vista della turbina AG03 dal ricevitore;

λ = la lunghezza d'onda, in metri.

- $n = 4$ (caso peggiore);

- la distanza tra i ponti: 59,97 km; $d_1 = 11,06$ Km; $d_2 = 48,91$ Km.

Si è ottenuto, dunque, che il raggio dell'ellissoide al centro sia pari a **R = 74 m**.

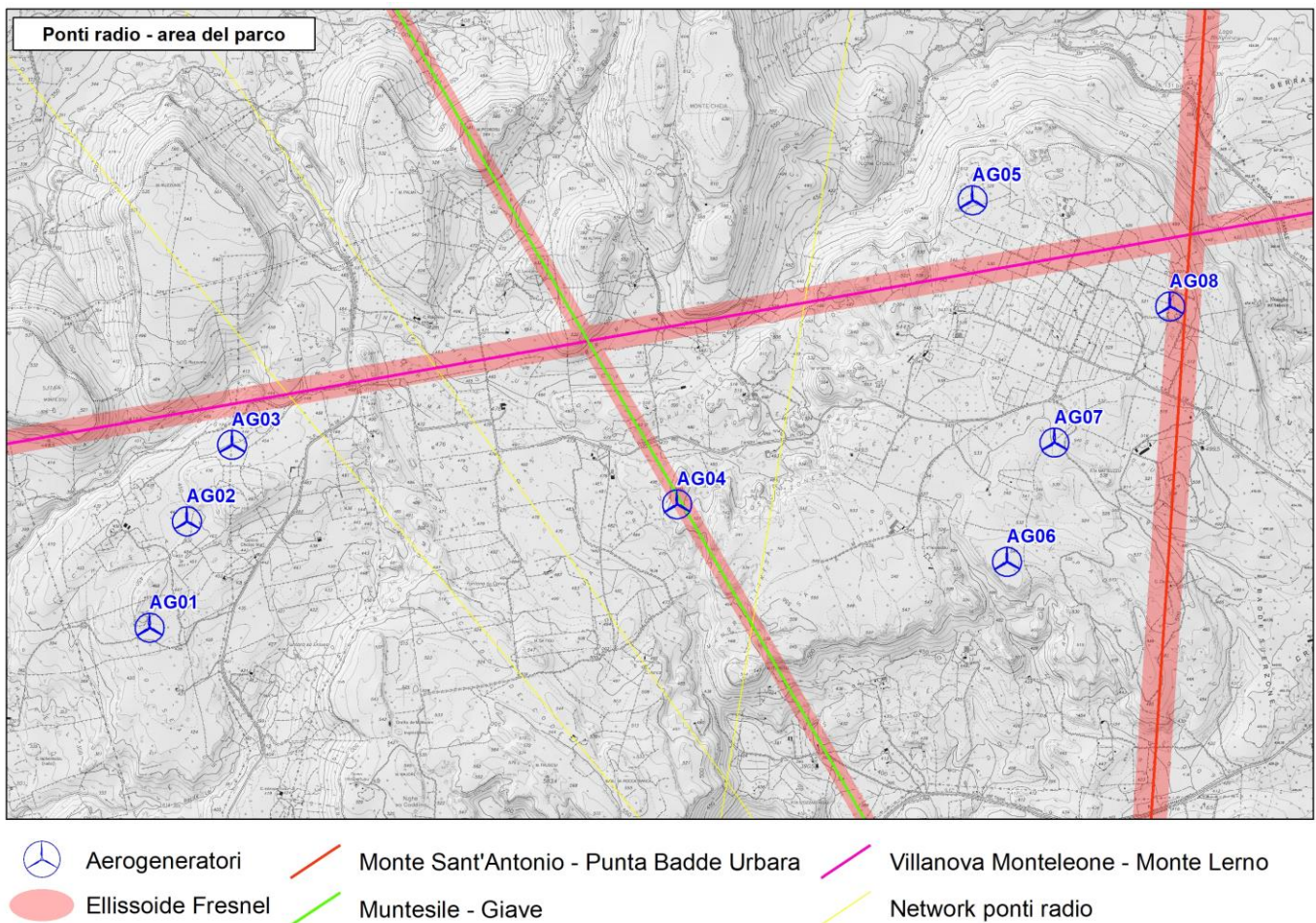


Figura 10: ellissoide di Fresnel del ponte radio Villanova Monteleone – Monte Lerno sul piano orizzontale.

Come mostrato in Figura 10, l'ellissoide di Fresnel della tratta suddetta non intercetta sul piano orizzontale la turbina AG03.

4.3. Impatti sulle telecomunicazioni TV

Relativamente ai **segnali televisivi** alle utenze finali, anche essi possono essere soggetti a distorsioni causate dalla riflessione generata dal movimento delle pale e ad attenuazioni nel caso di passaggio attraverso le turbine. Nel primo caso, le distorsioni possono generare dei segnali ombra (ghosting) o delle variazioni continue su contrasto e nitidezza video.

Questi effetti sono differenti nel caso di trasmissione del segnale analogico o digitale. L'abbandono della TV analogica per quella digitale ha ridotto notevolmente le interferenze dovute ai parchi eolici in quanto il segnale digitale ha la caratteristica di essere molto più "pulito" di quello analogico, grazie alla complessa tecnologia di soppressione del rumore e dei disturbi.

Dallo studio dei recettori emerge in via preliminare che non si prevedono interferenze con il sistema di telecomunicazioni radio-TV dovuto alla presenza del parco eolico, per via della distanza (**almeno 250 m dei recettori più vicini, e oltre 2 km dai centri abitati**) e del fatto che nessun recettore risulta schermato dalle turbine in tutte le direzioni.

Dato il carattere preliminare di questa analisi (poiché non si conoscono i dettagli tecnici dei vari apparati di ricezione), non si possono escludere totalmente delle possibili interferenze ai ricettori, ad oggi non valutabili. Tali interferenze sono tuttavia facilmente risolvibili successivamente alla realizzazione dell'impianto attraverso le seguenti azioni:

- Installazione di un'antenna ricevente di migliore qualità o con una maggiore direzionalità rispetto a quelle omnidirezionali;
- Riposizionamento dell'antenna e/o variazione della direzione verso altre stazioni trasmettenti;
- Utilizzo di una connessione satellitare (TVSat) come mostrato in Figura 11.

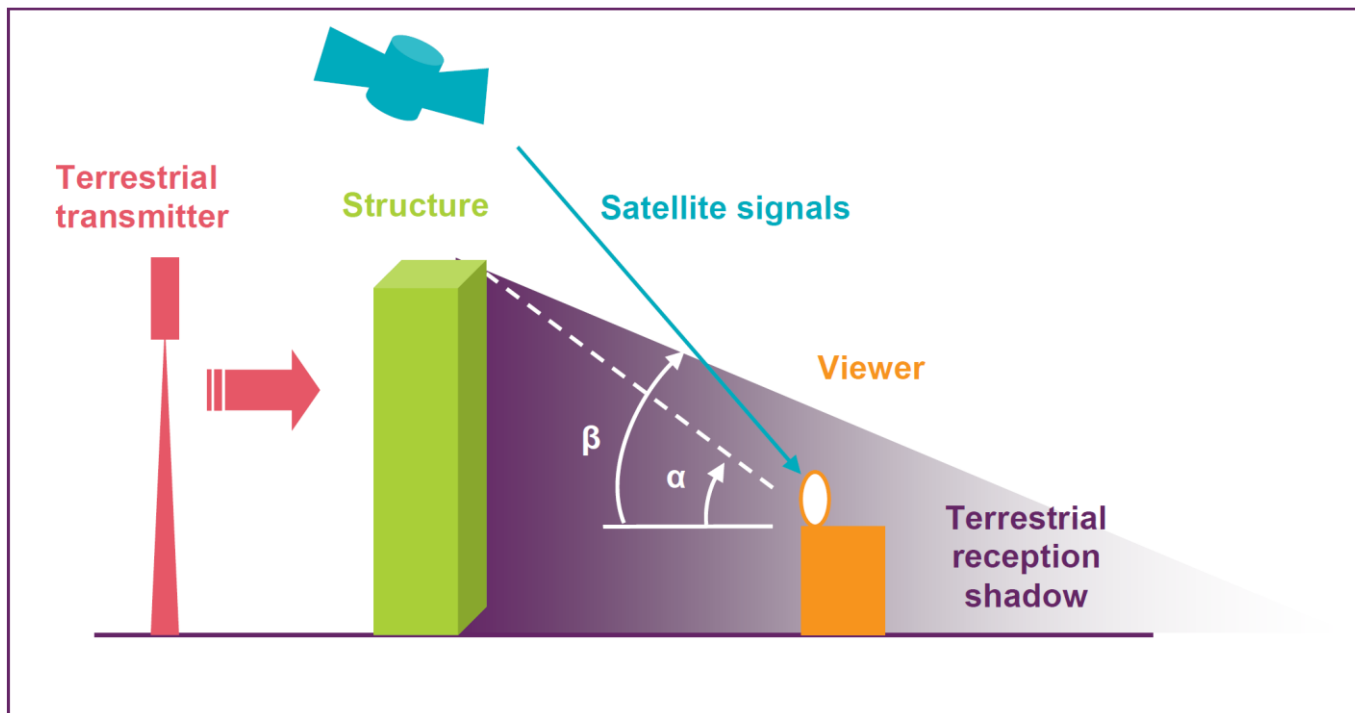


Figura 11: la ricezione satellitare non è compromessa dalle nuove strutture. Fonte: Tall structures and their impact on broadcast and other wireless services. Ofcom, agosto 2009.

4.4. Impatti sui segnali radio

A differenza delle telecomunicazioni e dei segnali a microonde, poiché **i trasmettitori radio sono omnidirezionali**, le turbine, a meno che non siano localizzate nelle immediate vicinanze dell'antenna, non costituiscono alcun ostacolo ai segnali radio.

L'onda elettromagnetica può seguire più percorsi dal trasmettitore al ricevitore ad esempio sfruttando, oltre alla linea diretta, la riflessione da parte del terreno o degli edifici. A tale forma di propagazione si dà il nome di multipropagazione (*multipath*)³.

Il multipath è particolarmente sentito anche nelle trasmissioni radiomobili come le reti cellulari dove il mutare della posizione del terminale mobile rispetto alla stazione radio base, specie con ambiente urbano di radiopropagazione, determina continue variazioni degli effetti di riflessione e diffrazione e quindi un multipath variabile in maniera non predicibile ovvero aleatoria. Pur tuttavia il multipath nel canale radiomobile permette la ricezione anche non in linea di vista.

³ Si intende come multipath la presenza contemporanea di due o più percorsi attraverso cui la potenza viaggia tra l'antenna trasmittente e quella ricevente. Si è già visto come tale effetto può essere prodotto dalla contemporanea presenza di: cammino diretto, riflessioni dal terreno, riflessioni dovute a forti gradienti dell'indice di rifrazione. Le fluttuazioni dell'indice di rifrazione possono costituire un ulteriore contributo. I campi dovuti ai diversi cammini si ricombinano in prossimità dell'antenna ricevente con diverse relazioni di fase, variabili nel tempo. Ne conseguono oscillazioni della potenza ricevuta che possono essere anche molto intense. Tale effetto è denominato fading.

Si assume che non vi sia alcun impatto se la turbina è posizionata ad oltre 1 km di distanza da un trasmettitore omnidirezionale, o se posizionata ad oltre 3 km da un trasmettitore monodirezionale⁴.

In caso contrario vi può essere anche la formazione di correnti di radio frequenza che si propagano lungo le strutture metalliche della turbina, che possono causare elettrocuzione o perdita di equilibrio sul personale addetto alla manutenzione della stessa (particolarmente pericolosa per chi lavora all'esterno della navicella).

Nel caso in esame si esclude totalmente qualsiasi interferenza, in quanto come detto, l'apparato di trasmissione più vicino, dista oltre 3 km dall'AG ad esso più vicina.

4.5. Impatti sulle comunicazioni telefoniche

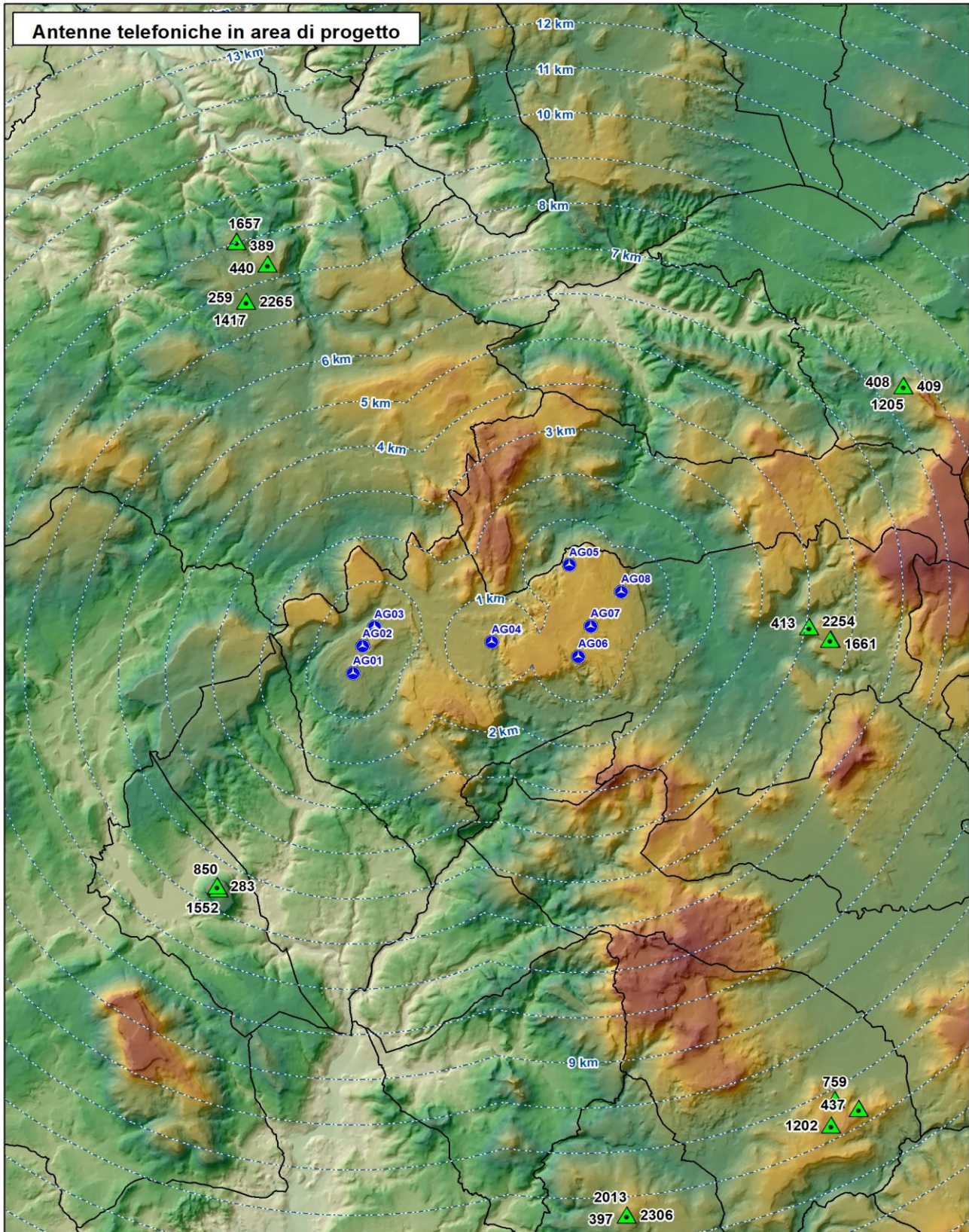
Nell'area in esame sono presenti diverse antenne dei principali operatori telefonici, dislocate in modo da favorire in particolare la copertura dei centri abitati e le principali vie di comunicazione, come rappresentato in Figura 12.

I trasmettitori sono omnidirezionali. La rete cellulare è una rete per cui la copertura geografica è realizzata con una tassellazione a celle: porzioni di area geografica che unite ricoprono perfettamente una zona. La stazione base trasmette dando la possibilità agli utenti che si trovano entro il suo raggio di copertura di comunicare. Inizialmente (anni '70) le regioni di copertura erano molto grandi (raggio di alcuni km) e si utilizzava, per una sola stazione, l'intero spettro delle frequenze. Oggi, invece, le stazioni coprono aree più piccole quindi, a differenza di prima, le antenne erogano una potenza minore. Inoltre celle vicine usano frequenze diverse per evitare interferenze.

Per la telefonia mobile il raggio di possibile interferenza interno ai trasmettitori è inferiore a 1 km. A distanza maggiore, la presenza degli aerogeneratori non crea alcun problema al sistema di telecomunicazione che è notoriamente adatto a funzionare in condizioni dinamiche.


Come rappresentato in Figura 12 le distanze dal parco superano i 4 km, pertanto si può escludere qualunque tipo di interferenza con questi segnali.

⁴ Alcuni studi definiscono 500 m come distanza dalle antenne necessaria ad evitare interferenze. Fonte: Tall structures and their impact on broadcast and other wireless services. Ofcom, agosto 2009.



- Buffer distanze da area di progetto
- Confini comunali
- Aerogeneratori
- Antenne telefoniche

Figura 12: individuazione antenne rete mobile.

Bentu Energy S.r.l.		N° Doc. IT-VesBen-CLP-SPE-TR-10	Rev 0	Pagina 23 di 23
---------------------	--	------------------------------------	-------	--------------------

5. Conclusioni

In questa fase preliminare si possono escludere interferenze con i sistemi di comunicazioni radar, microonde, radio e rete di telefonia mobile per i quali sono state fatte delle ipotesi cautelative.

In particolare, riguardo le comunicazioni a microonde, ovvero i ponti radio, il ponte Muntese-Giave non è stato considerato in quanto si è ipotizzata una copertura strettamente locale delle antenne afferenti; se questa ipotesi non fosse confermata, l'AG04 causerebbe una interferenza data la notevole intersezione dell'area spazzata dalla turbina con l'ellissoide di Fresnel del ponte radio in esame.

Non si può escludere in assoluto qualche interferenza sui sistemi di ricezione TV, a causa della non conoscenza di tutte le caratteristiche degli apparati di trasmissione e ricezione presenti nell'area, peraltro facilmente mitigabili.